

системе, в к-рой одиночестичное описание (имеющее место для ферми-жидкости) невозможно, поскольку важными становятся многоэлектронные эффекты (корреляции). В этой ситуации можно воспользоваться малым параметром $W/U \ll 1$ и перейти от общего гамильтониана (1) к эф. гамильтониану т. н. $t-J$ -модели:

$$H = t \sum_{ij\sigma} (1-n_{i\sigma}) c_{i\sigma}^+ c_{i\sigma} (1-n_{j\sigma}) + J \sum_{ij} \left(S_i S_j - \frac{1}{4} n_i n_j \right), \quad (3)$$

к-рый описывает движение скоррелированных электронов по решётке: они совершают прыжки с узла на соседний узел, но так, чтобы на одном узле не было двух электронов [эти состояния запрещаются факторами $(1-n_{i\sigma})$ в первом члене]; при этом возникает эф. антиферромагн. обменное взаимодействие электронов на соседних узлах с обменным интегралом $J=2t^2/U$.

Кроме двух параметров (t , U или t , J) Х. м. характеризуется ещё одним параметром — электронной концентрацией n (число электронов на один узел решётки). В этой невырожденной модели n меняется в пределах $0 < n < 2$, причём поведение системы существенно зависит от величины n . Из (3) видно, что при половинном заполнении зоны ($n=1$) гамильтониан $t-J$ -модели сводится к гамильтониану Гейзенберга модели с атомным локализованным спином $S=\frac{1}{2}$, так что основное состояние системы должно быть антиферромагнитным с волновым вектором $Q=(\pi, \pi, \pi)$. За счёт взаимодействия электронных состояний с антиферромагн. порядком при $n=1$ должна открываться щель на поверхности Ферми, так что в этих условиях система должна быть диэлектриком. При отклонении от половинного заполнения в системе появляется дырочная проводимость, а антиферромагн. порядок ослабляется за счёт движения дырок, так что при нек-рой концентрации дырок антиферромагнетизм исчезает; при последующем уменьшении n сильно коррелированная система переходит в режим ферми-жидкости. Т. о., из рассмотрения двух предельных случаев ясно, что при изменении n должен существовать кроссовер от ферми-жидкостного поведения в фазу диэлектрического состояния и одновременно кроссовер от коллективизированного магнетизма к магнетизму с локализованнымимагн. моментами. При фиксированном t аналогичный кроссовер должен возникать с ростом U . Эти наиб. интересные явления появляются в области промежуточных значений $U \sim W$, где *возмущений теория* не работает, поэтому необходимо использовать при анализе Х. м. другие приближённые подходы, не основанные на разложениях по параметрам U/W или W/U . Ниже рассматривается ряд таких подходов [2].

Квазичастичный спектр при наличии сильной корреляции. Первые важные результаты о поведении систем с большим $U \gtrsim W$ были получены Хаббардом с помощью метода расщепления ур-ний движения для двухвременных Грина функций. Простейшее расщепление (известное в литературе как приближение «Хаббард-1») основано на том, что в гамильтониане (1) кулоновский член диагонален в узельном представлении, поэтому корреляции на одном узле могут быть учтены точно; оно приводит к следующему спектру квазичастичных состояний с импульсом k и спином σ :

$$E_{1,2}^{\sigma}(k) = \frac{1}{2} [\delta(k) + U \pm \sqrt{\delta^2(k) - 2\delta(k)U(1-2n_{\sigma}) + U^2}], \quad (4)$$

Т. о., при наличии кулоновского отталкивания на узле вместо одной исходной зоны (2) возникают две т. н. хаббардовские подзоны, зависящие от числа электронов n_{σ} со спином $-\sigma$, причём расстояние между этими подзонами порядка U . Результат (4) носит интерполяц. характер между двумя пределами: свободных электронов ($U=0$) и атомным пределом ($t=0$). В последнем случае возникают два атомных уровня $E_{01}=0$ и $E_{02}=U$, соответствующих состояниям с одним и двумя электронами на узле. Оказывается, что ниж. подзона соответствует одночастичным электронным состояниям, а верхняя — двухчастичным, в к-рых на одном узле находятся два электрона. Расстояние

между этими подзонами по порядку величины соответствует разности энергии в атомных состояниях, равной U . Этот вывод Хаббарда соответствует картине расщепления спектра в Шубина—Вонсовского модели, являющейся предшественницей Х. м. Приближение «Хаббард-1» страдает рядом недостатков, т. к. оно даёт расщепление зоны при любом сколько угодно малом U , а также нарушает аналитич. свойства электронной ф-ции Грина и необходимые правила сумм. Тем не менее сам факт корреляц. расщепления зоны чрезвычайно важен. Для $t-J$ -модели (4) переходит в следующую ф-лу для энергии в ниж. подзоне (верх. подзону следует отбросить) в парамагн. фазе:

$$E(k) = \left(1 - \frac{n}{2} \right) \delta(k). \quad (5)$$

Эта ф-ла описывает корреляц. сужение зоны за счёт факто-ра $1-n/2$, зависящего от концентрации электронов.

Позднее Хаббард улучшил расщепление и пришёл к физически более корректному результату, известному как приближение «Хаббард-3», основанному на использовании «сплавовой аналогии». Если кулоновский член в (1) взять в *среднем поля приближении*, т. е. заменить его на $U \sum_{i\sigma} \langle n_{i\sigma} \rangle n_{i\sigma}$, то это будет означать, что электрон со спи-
ном σ взаимодействует с локальным полем величины $U \langle n_{i\sigma} \rangle$, к-roe на отд. узле принимает значение либо 0, либо U . Задача становится тогда эквивалентной задаче о движении электрона в двухкомпонентном сплаве, и для неё может быть использовано приближение типа когерентного потенциала (CPA), хорошо известное в теории сплавов.

Рассчитанная в приближении «Хаббард-3» плотность состояний $\rho(\omega)$ изменяет свою топологию с ростом U (рис. 1). При достижении нек-рого критич. значения

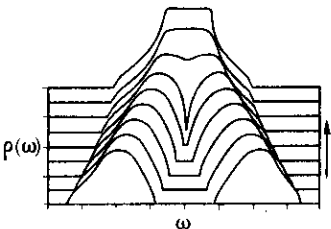


Рис. 1. Изменение плотности состояний $\rho(\omega)$ с ростом па-раметра U (направление по-роста указано стрелкой) в при-ближении «Хаббард-3» для простой кубической решётки.

$U_c \approx W$ имеет место расщепление единой зоны на две подзоны. При половинном заполнении это происходит точно в центре исходной зоны, поэтому в точке $U=U_c$ имеет место фазовый переход металл — диэлектрик, предсказанный Моттом. При дальнейшем увеличении U ширина запрещённой зоны растёт по закону $(U-U_c)^{3/2}$. В приближении «Хаббард-3» корреляц. расщепление зоны происходит только при достаточно больших значениях U , а квазичастицы имеют конечное затухание, причём аналитич. свойства ф-ции Грина не нарушаются. Однако выяснилось, что при всех U затухание отлично от нуля также и на поверхности Ферми, т. е. на ней нет скачка в распределении частиц по импульсам, что означает отсутствие и самой поверхности Ферми. Др. словами, приближение «Хаббард-3» описывает неферми-жидкостное поведение системы во всей области изменения параметров; как и в приближении «Хаббард-1», здесь нет предельного перехода к малым U . Кроме того, в приближении «Хаббард-3» теория не самосогласована полностью и результат вычисления термодинамич. величин зависит от способа вычисления. Эти недостатки приближения связаны с неконтролируемыми расщеплениями ф-ций Грина. Большой прогресс в понимании сильно коррелированных систем, описываемых Х. м., был достигнут при рассмотрении предела $d \rightarrow \infty$.

Предел бесконечной размерности пространства. В теориях систем мн. тел предел $d \rightarrow \infty$ соответствует приближению ср. поля, к-roe является асимптотически точным в этом пределе. Прекрасным примером служит *Изинга модель*, в к-рой доказано, что ур-ние молекулярного поля